

## АКТИВАЦИОННЫЕ СВОЙСТВА ПЛЕНКИ $\text{Ce}_2\text{Tb}_4\text{O}_{11}$ НА ПЛАТИНОВОМ ЭЛЕКТРОДЕ В КОНТАКТЕ С ЭЛЕКТРОЛИТОМ $\text{ZrO}_2 + 10 \text{ мол.\% Y}_2\text{O}_3$

А.И. Коврова\*, В.П. Горелов

Институт высокотемпературной электрохимии УрО РАН, Екатеринбург, Россия

\*e-mail: kovrova@ihte.uran.ru

В настоящее время активно исследуются методы повышения эффективности электродов твердооксидных топливных элементов путем пропитки пористого субстрата термически нестойкими солями соответствующих элементов с последующей термообработкой. В высокотемпературной электрохимии оксидных твердых электролитов пропитка электродов растворами термически нестойких солей церия [1] и празеодима [2] с последующей термообработкой давно используется в качестве метода активации электродов. При этом оксид церия используется как активатор электродов, работающих в восстановительных условиях, а оксид празеодима – как активатор для окислительных условий.

К серьезным недостаткам оксида празеодима как активатора относится его взаимодействие с водяным паром при хранении на воздухе. Оксид  $\text{Pr}_6\text{O}_{11}$  рассматривают и как  $4\text{PrO}_2 \cdot \text{Pr}_2\text{O}_3$  – смешанное оксидное соединение празеодима в степенях окисления 4+ и 3+. Чтобы сделать активатор более стойким к воздействию водяного пара и, возможно, к воздействию восстановительной атмосферы, было интересно воспроизвести этот активатор, заменив  $\text{PrO}_2$  и  $\text{Pr}_2\text{O}_3$  в этом соединении другими редкоземельными оксидами со степенями окисления 4+ и 3+, а именно, оксидом церия  $\text{CeO}_2$  и оксидом тербия  $\text{Tb}_4\text{O}_7$  ( $2\text{TbO}_2 \cdot \text{Tb}_2\text{O}_3$ ). Итоговое соединение будет иметь формулу  $2\text{CeO}_2 \cdot 2\text{TbO}_2 \cdot \text{Tb}_2\text{O}_3$ , или  $\text{Ce}_2\text{Tb}_4\text{O}_{11}$ .

Ранее [3] мы исследовали характеристики платинового электрода, находящегося в контакте с твердым электролитом  $\text{ZrO}_2 + 10 \text{ мол.\% Y}_2\text{O}_3$  (YSZ) и активированного малыми количествами оксида празеодима ( $\sim 0.1 \text{ мг PrO}_x/\text{см}^2$ ) для двух случаев: 1) когда активатор при быстром нагреве в процессе термообработки получается в виде порошка; 2) когда активатор при медленном нагреве образует на электролите YSZ пленку. Эксперимент показал [3], что активатор в случае порошковой формы при его малых количествах слабо влияет на характеристики электрода. В случае же образования пленки при тех же количествах активатора, наблюдалось резкое возрастание поляризационной проводимости электрода на несколько порядков величины. Последующие активации не меняли характеристики электрода.

Было высказано достаточно очевидное объяснение [3], что образование на электролите пленки активатора, обладающей смешанной ионно-электронной проводимостью, приводит к расширению зоны реакции на всю поверхность электролита. Это модель плотного оксидного электрода в виде нанопленки.

Изучение такого типа электродов, безусловно, представляет большой научный и практический интерес.

**Цель работы** – провести изучение активационных характеристик сложного оксида  $\text{Ce}_2\text{Tb}_4\text{O}_{11}$ , в случаях, когда при инкорпорации в пористый электрод Pt/YSZ он образует пленку и сопоставить активационные характеристики электрода, пленок-активаторов  $\text{PrO}_x$ ,  $\text{TbO}_x$  и  $\text{CeO}_2$  с характеристиками сложного оксида  $\text{Ce}_2\text{Tb}_4\text{O}_{11}$ .

Платиновые электроды наносили на обе стороны пластинок YSZ (толщиной 0.5 мм и диаметром 8 мм) методом окрашивания и припекали на воздухе при температуре 1100°C (1 ч). Результирующий электрод содержал около 15 мг Pt/cm<sup>2</sup>.

Активирование платиновых электродов производили, капельно вводя в них нужное количество спиртового раствора нитратов смеси сложного оксида. Образцы после введения нитратов РЗЭ прокаливали на воздухе при 850°C (1 ч) при медленном нагреве (50°C/час), при котором образуется пленка оксида-активатора. Количество активатора, вводимое в электроды при одной активации, в пересчете на оксид, составляло около 0.1 мг РЗО/cm<sup>2</sup>. Детальное описание методики изготовления образцов электролита с Pt-электродами и активации электродов описано в работе [4].

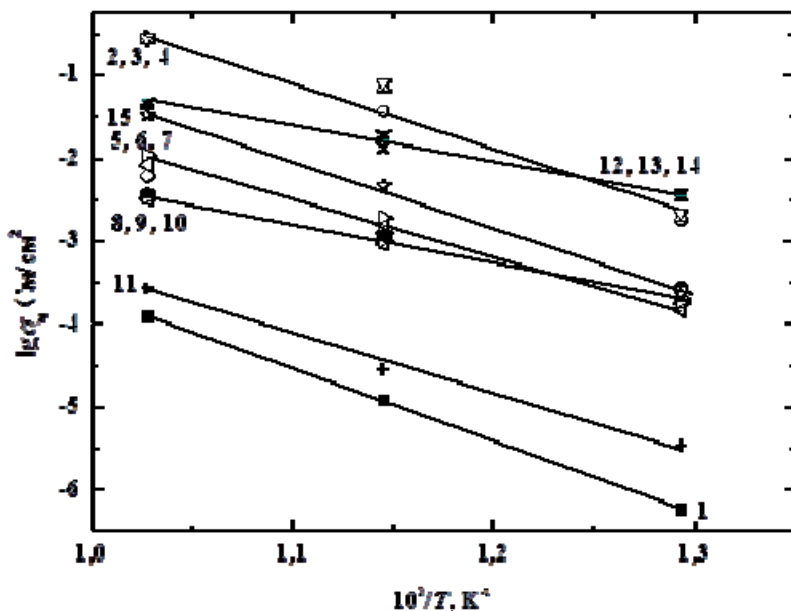
Поляризационные характеристики электродов изучали методом импеданса с использованием импедансметра «PARSTAT 2273» (Чехия) в области частот 0.1 Гц – 1 МГц при амплитуде сигнала 30 мВ. Измерения проводили в окислительной (воздух) и в восстановительной ( $\text{N}_2 + 3\% \text{ H}_2 + 3\% \text{ H}_2\text{O}$ ) атмосферах в интервале температур 700–500°C.

По результатам РФА смешанный оксид  $\text{Ce}_2\text{Tb}_4\text{O}_{11}$ , синтезированный из смеси спиртовых растворов солей, высушенных и затем прокаленных при 850°C и 1100°C является фазой с кубической структурой типа флюорита с параметрами  $0.5339 \pm 0.001$  нм после синтеза при 850°C и  $0.5334 \pm 0.001$  нм после прокалки при 1100°C.

Наши измерения показали, что неактивированный платиновый электрод, который мы изучали в [3], имеет очень большое поляризационное сопротивление  $R_\eta$  и на гадографе импеданса наблюдается практически только полуокруг, отвечающий электродному процессу. Для такого электрода энергия активации поляризационной проводимости  $E_\eta = 160 \pm 2$  кДж/моль (1.66 ± 0.02 эВ) и это значение находится в интервале литературных значений энергий активации диффузии кислорода на платине.

В случае, когда оксиды-активаторы  $\text{Ce}_2\text{Tb}_4\text{O}_{11}$ , включая  $\text{PrO}_x$ ,  $\text{TbO}_x$  и  $\text{CeO}_2$ , образуют на электролите пленки, наблюдалось одно и то же явление: после первой же активации поляризационная проводимость электрода  $\sigma_\eta$  достигала максимального для данного активатора значения и при последующих активациях не менялась (рисунок 1). Оставалась неизменной и энергия активации поляризационной проводимости  $E_\eta$ . Это явление неизменности электродных характеристик при нескольких активациях нанопленками

наблюдалось как в атмосфере воздуха, так и в восстановительной атмосфере. Дополнительных стадий электродного процесса мы не наблюдали.



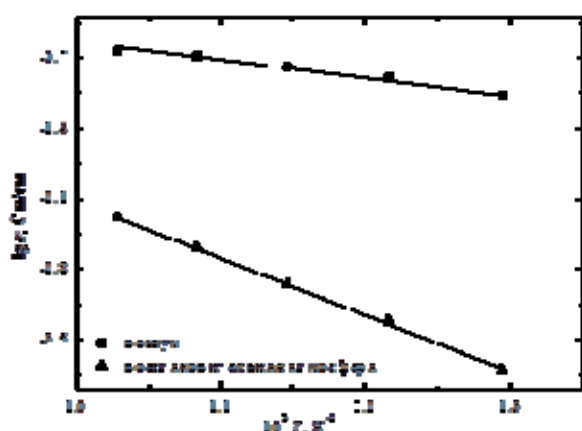
**Рисунок 1.** Температурные зависимости поляризационной проводимости электродов Pt/YSZ, активированные в режиме, когда образуется пленка оксида-активатора: 1 – без активации; 2, 3, 4 –  $\text{PrO}_x$  (воздух), соответственно, одна, две и три активации; 5, 6, 7 –  $\text{TbO}_x$  (воздух), соответственно, одна, две и три активации; 8, 9, 10 –  $\text{CeO}_2$  (восстановительная атмосфера), соответственно, одна, две и три активации; 11 –  $\text{CeO}_2$  (воздух) одна активация; 12, 13, 14 –  $\text{Ce}_2\text{Tb}_4\text{O}_{11}$  (восстановительная атмосфера), соответственно, одна, две и три активации; 15 –  $\text{Ce}_2\text{Tb}_4\text{O}_{11}$  (воздух) одна активация.

Эксперимент показал, что характеристики смешанного оксида  $\text{Ce}_2\text{Tb}_4\text{O}_{11}$  близки к характеристикам оксида празеодима (таблица 1). Так, энергия активации  $E_\eta$  электрода с пленкой  $\text{Ce}_2\text{Tb}_4\text{O}_{11}$  в атмосфере воздуха совпадает в пределах погрешности с таковой для оксида празеодима, а электропроводность  $\text{Ce}_2\text{Tb}_4\text{O}_{11}$  лишь немного ниже электропроводности оксида празеодима. При этом положительным фактором является более низкая энергия активации электропроводности  $\text{Ce}_2\text{Tb}_4\text{O}_{11}$  (0.22 эВ), чем у оксида празеодима (0.60 эВ).

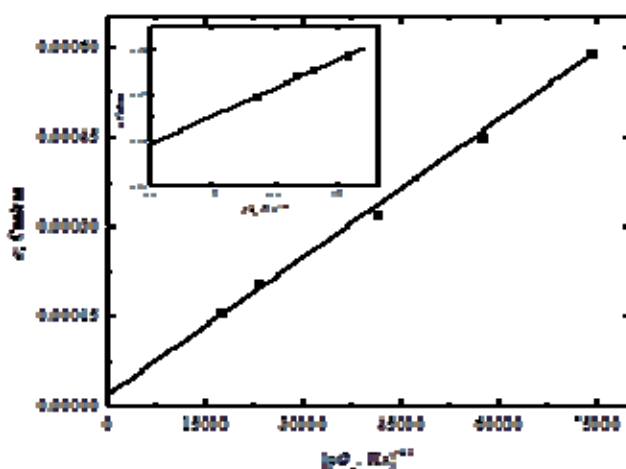
**Таблица 1.** Сравнительные характеристики оксидов-активаторов  $\text{Pr}_6\text{O}_{11}$  и  $\text{Ce}_2\text{Tb}_4\text{O}_{11}$  в атмосфере воздуха при  $600^\circ\text{C}$ : электропроводности ( $\sigma$ ), поляризационные проводимости электродов ( $\sigma_\eta$ ) и энергии активации электропроводности ( $E_\sigma$ ) и поляризационной проводимости ( $E_\eta$ )

Активатор	$\sigma_\eta$ , См/см <sup>2</sup>	$E_\eta$ , эВ	$\sigma$ , См/см ( $600^\circ\text{C}$ )	$E_\sigma$ , эВ
$\text{Pr}_6\text{O}_{11}$	$3.5 \cdot 10^{-2}$	$1.57 \pm 0.08$	$0.40 \pm 0.02$	$0.60 \pm 0.02$
$\text{Ce}_2\text{Tb}_4\text{O}_{11}$	$0.5 \cdot 10^{-2}$	$1.55 \pm 0.09$	$0.16 \pm 0.01$	$0.22 \pm 0.02$

В окислительной атмосфере активационные свойства  $\text{Ce}_2\text{Tb}_4\text{O}_{11}$  лучше, чем в восстановительной атмосфере, что коррелирует с его более высокой электропроводностью в атмосфере воздуха (0.16 См/см при 600°C), чем в восстановительной атмосфере ( $1.1 \cdot 10^{-3}$  См/см при 600°C) (рисунок 2). Активационные свойства пленки  $\text{Ce}_2\text{Tb}_4\text{O}_{11}$  лучше, чем у  $\text{CeO}_{2-x}$  и в восстановительной, и в окислительной атмосфере. В атмосфере воздуха активационные свойства  $\text{Ce}_2\text{Tb}_4\text{O}_{11}$  также выше, чем у  $\text{Tb}_4\text{O}_7$ , но уступают оксиду празеодима (рисунок 1).



**Рисунок 2.** Температурные зависимости электропроводности образца  $\text{Ce}_2\text{Tb}_4\text{O}_{11}$  на воздухе и в восстановительной атмосфере.



**Рисунок 3.** Зависимость общей проводимости образца  $\text{Ce}_2\text{Tb}_4\text{O}_{11}$  при 600°C в восстановительной атмосфере от  $p_{\text{O}_2}^{-1/4}$  (врезка: от  $p_{\text{O}_2}^{+1/4}$  в окислительной атмосфере).

Измерения электропроводности  $\text{Ce}_2\text{Tb}_4\text{O}_{11}$  в зависимости от  $p_{\text{O}_2}$  показали, что в окислительных атмосферах этот оксид является преимущественно дырочным проводником, а в восстановительных атмосферах становится преимущественно электронным проводником  $n$ -типа. Экстраполяция электропроводности  $\text{Ce}_2\text{Tb}_4\text{O}_{11}$  в зависимости от  $p_{\text{O}_2}^{\pm 1/4}$  на нулевое значение  $p_{\text{O}_2}$  показывает, что величины проводимости, отсекаемые на ординате сильно

отличаются для окислительных и восстановительных атмосфер (рисунок 3). Это указывает на сильную зависимость ионной проводимости от  $pO_2$ .

Исследование показало, что  $Ce_2Tb_4O_{11}$  является универсальным активатором, работающим как в окислительной, так и в восстановительной атмосферах.

#### **Список литературы**

1. Карпачев С.В., Перфильев М.В. Пат. 1840850 (Россия). 2013.
2. Bronin D.I., Kuzin B.L., Nafe H., Aldinger F. //Solid State Ionics. 1999. V. 120. P. 13–25.
3. Вшивкова А.И., Горелов В.П. //Электрохимия. 2016. Т. 52. с. 549–554.
4. Коврова А.И., Горелов В.П. //Электрохимия. 2017. Т. 53. с. 592–601.